

ИЗВЕСТИЯ  
ТОМСКОГО ОРДЕНА ТРУДОВОГО КРАСНОГО ЗНАМЕНИ  
ПОЛИТЕХНИЧЕСКОГО ИНСТИТУТА

Том 180

1971

**К ВОПРОСУ ОБ ЭЛЕКТРИЧЕСКОМ ВЗРЫВЕ ПРОВОДНИКОВ**

Ю. А. КОТОВ, М. А. МЕЛЬНИКОВ, В. В. НИКИТИН

(Представлена научным семинаром научно-исследовательского института высоких напряжений при ТПИ).

Возрастание интереса к явлению взрыва проводников в последние годы объясняется возможностью использования его как для практических целей: источники света с яркостной температурой до  $60000^{\circ}\text{K}$ , источник ударных волн, высоковольтные предохранители, получение больших электронных токов эмиссии и т. д., — так и возможностью изучения поведения металла при динамическом достижении в нем большой плотности энергии.

Качественно показано, что характер процессов, возникающих при прохождении через проволочку импульса тока большой величины, но не вызывающего ее взрыва [1, 2], или характер процессов после взрыва проволочки: длительность «паузы тока» [3—5], интенсивность расширения канала паров [5—7], достигаемые температуры и плотности энергии [8—10], — определяется, с одной стороны, достигнутой плотностью тока, а с другой — временем сообщения проволочке энергии.

Другими словами, характер поведения металлического проводника после прохождения через него импульса тока определяется величиной объемной плотности энергии, достигнутой в нем.

Настоящая работа посвящена изучению характера зависимости максимальной плотности тока и времени взрыва проволочек от начального напряжения источника энергии и параметров самой проволочки: материала и геометрических размеров. Полученные результаты сопоставляются с данными других авторов.

Методика эксперимента описана в [11]. Параметры разрядного контура:  $C = 1,2 \text{ мкФ}$ ,  $L_k = 0,28 \cdot 10^{-6} \text{ Гн}$  — без учета индуктивности проволочки, которая определялась расчетом. Напряжение на конденсаторе ( $V_0$ ) изменялось от значений, при которых наблюдался характерный взрыв проволочки, до 15 кв. Исследовались медные, константановые и никромовые проволочки длиной от 6,5 до 35 мм и диаметром: медь —  $d = 0,06 — 0,15 \text{ мм}$ , никромовые — 0,1 мм, константановые — 0,09 мм.

За время взрыва проволочки мы принимаем время от момента включения тока до полного его обрыва после первого импульса (рис. 1, а).

В том случае, когда «пауза тока» отсутствовала, время взрыва определялось из осцилограммы тока экстраполяцией кривой тока к нулевому значению, как это показано на рис. 1, б.

Одновременно с осциллографированием тока и напряжения нами проводилась непрерывная фотoreгистрация теневой картины взрывающейся проволочки [11]. Здесь мы не обсуждаем результаты обработки теневой съемки. Укажем только, что по нашей классификации время взрыва ( $T_v$ ) состоит из трех характерных частей:

1. Время ( $T_1$ ) до начала медленного расширения паров проволочки. Это время от момента включения тока до появления ступеньки в осциллограмме напряжения для медных (рис. 1) и константановых проволочек. У никромовых проволочек начало расширения паров проявляется перегибом в осциллограмме тока.

2. Время ( $T_2$ ) медленного расширения паров проволочки без образования ударной волны, при наличии твердого керна из материала проволочки внутри канала паров. Это время заканчивается, когда напряжение начинает резко возрастать (начало пика напряжения).

3. Время ( $T_3$ ) бурного расширения паров проволочки — от начала пика напряжения до образования «паузы тока».

Подобная классификация проведена авторами [12], но они объединяют  $T_1$  и  $T_2$ , хотя эти моменты четко фиксируются на осциллограммах и фото-развертках процесса взрыва.

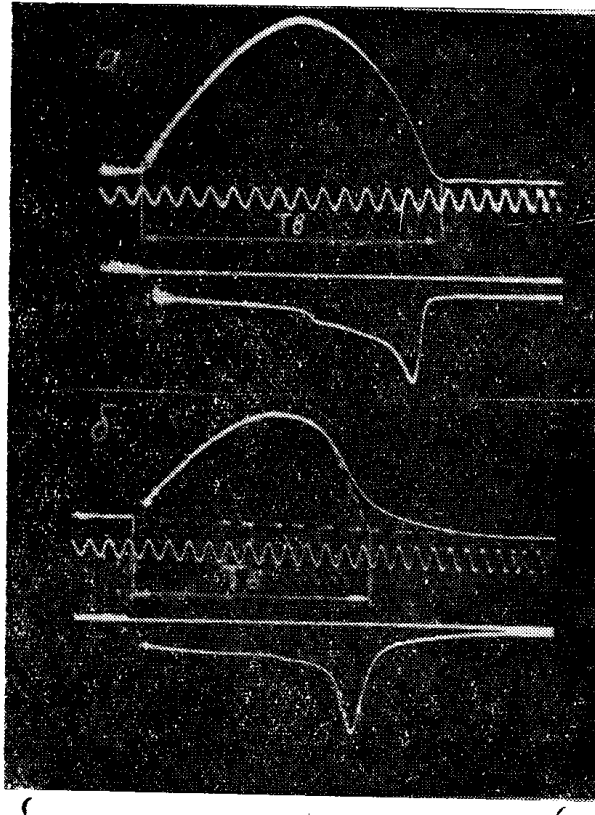


Рис. 1. Осциллограммы тока (вверху) и напряжения при взрыве медной проволочки  $d = 0,12 \text{ м}$ : а — отсчет времени взрыва при наличии «паузы тока»,  $V_0 = 5 \text{ кВ}$ ;  $l = 20 \text{ мм}$ ; б — отсчет времени взрыва при отсутствии «пауза тока»,  $V_0 = 7 \text{ кВ}$ ;  $l = 10 \text{ мм}$

## Результаты и их обсуждение

Исследование времени первого импульса проводилось в работах [13, 14], с которыми мы и сопоставляем данные наших экспериментов. Следует заметить, что в [13] исследовалось время до начала бурного расширения паров, т. е.  $T_1 + T_2$ . Это время, конечно, не соответствует времени получения всей энергии материалом проволочки, однако сравнение с полученными в [13] данными полезно.

Зависимость  $T_v$  от поперечного сечения  $S$  проволочки (рис. 2, кривые 1, 2, 3) показывает, что, хотя в наших экспериментах исследовались проволочки меньших сечений, при больших в 1,8 раза (при равных  $V_0$ ) скоростях ввода энергии, чем в [13] (там  $d = 0,13 - 0,35 \text{ мм}$ ,  $l = 15 - 60 \text{ мм}$ ,  $L_k = 0,5 \cdot 10^{-6} \text{ гн}$ ,  $V_0 = 10 \text{ кВ} = \text{const}$ ) и меньших, чем в [14], длинах при той же скорости ввода энергии (в [14]  $d = 0,08 - 1,16 \text{ мм}$ ,  $l = 71$  и  $151 \text{ мм}$ ,  $L_k = 0,3 \cdot 10^{-6} \text{ гн}$ ,  $V_0 = 10 - 20 \text{ кВ}$ ), характер кривых  $T_v = f(S)$  остается тем же, а именно: время взрыва возрастает линейно сечению проволочки. С ростом  $V_0$  уменьшается наклон  $T_v = f(S)$ .

Сравнение с данными [13] показывает также, что если экстраполяция  $T_b = f(S)$  к нулевому значению  $S$  в [13] (там  $T_b = T_1 + T_2$ ) дает  $T_b = 0$ , то у нас — различное  $T_b$ , уменьшающееся с ростом  $V_0$ . Из этого следует, что время бурного расширения  $T_3$  должно быть также линейно  $S$ , а наклон  $T_3 = F(S)$  должен уменьшаться с ростом  $V_0$ .

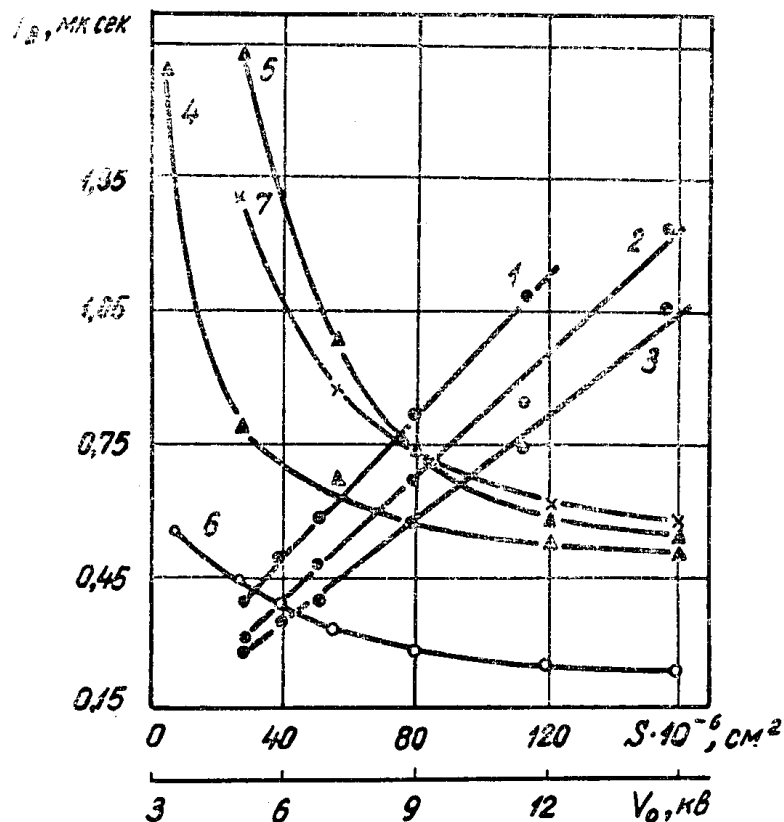


Рис. 2. Зависимость времени взрыва от сечения проволочки (кривые 1-3) и от начального напряжения конденсатора (кривые 4-7): 1 — медь,  $l = 10$  мм,  $V_0 = 5$  кв; 2 —то же,  $V_0 = 7$  кв; 3 —то же,  $V_0 = 9$  кв; 4 — никром,  $d = 0,1$  мм,  $l = 10$  мм; 5 — никром;  $d = 0,1$  мм,  $l = 20$  мм; 6 — медь,  $d = 0,06$  мм,  $l = 15$  мм; 7 — медь,  $d = 0,12$  мм,  $l = 15$  мм

Характер изменения  $T_b$  от  $V_0$  (рис. 2, кривые 4—7) показывает, что для резко отличающихся физико-механическими свойствами материалов кривые  $T_b = \varphi(V_0)$  имеют аналогичный вид: при увеличении  $V_0$   $T_b$  быстро уменьшается в области малых  $V_0$ ,  $\frac{dT_b}{dV_0}$  при этом увеличивается. Начиная с некоторого  $V_0$ , которое тем больше, чем больше длина проволочки (кривые 4, 5) и сечение (кривые 6, 7), изменение  $T_b$  становится практически линейным  $V_0$ .

Влияние длины  $l$  проволочки на  $T_b$  представлено на рис. 3. Видно, что:

1. Зависимость  $T_b = \Psi(l)$  только при  $l \leq 10$  мм имеет один и тот же вид при различных  $V_0$  для всех проволочек.
2. В диапазоне  $l > 10$  мм характер кривой  $T_b = \Psi(l)$  определяется материалом (кривые 2, 4 и 3, 6) и величиной  $V_0$  (кривые 1—3 и 4—5).
3. Для каждой из исследованных проволочек имеется такое  $V_0$ , при котором наблюдается  $T_b = \text{const}$ , независимо от длины, при  $l > 10$  мм

(кривая 6, а также для никрома  $d = 0,1 \text{ мм}$  —  $V_0 = 16 \text{ кв}$ , для константана,  $d = 0,09 \text{ мм}$  —  $V_0 = 12 \text{ кв}$ , для меди,  $d = 0,12 \text{ мм}$  —  $V_0 = 9 \text{ кв}$  и т. д.).

Исследовав влияние длины на  $T_v$  только при одном напряжении, авторы [13] заключили, что  $T_v$  не зависит от  $l$ , что справедливо, как показано выше, только в частном случае.

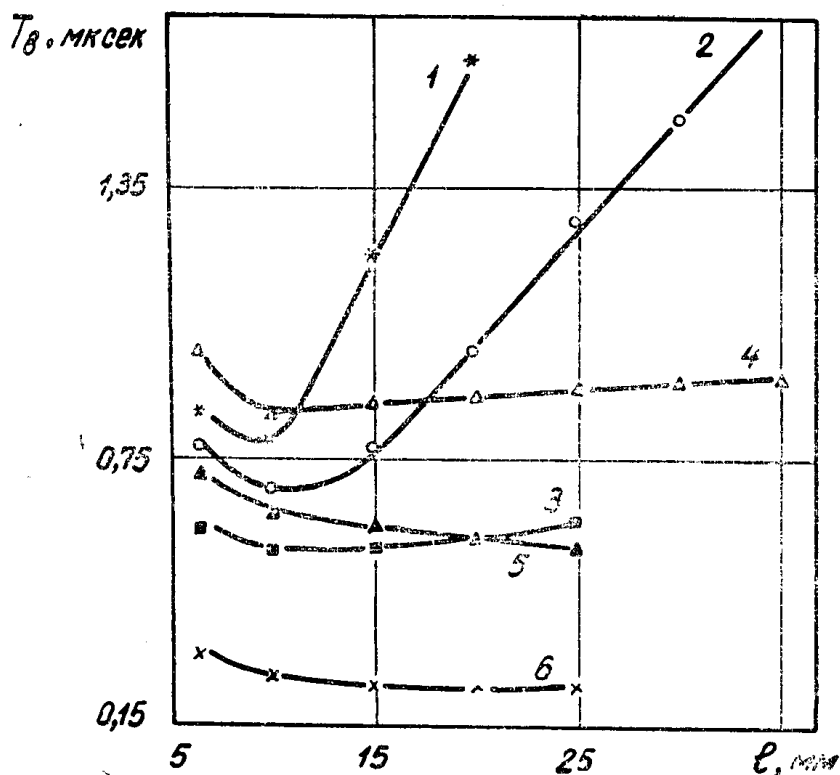


Рис. 3. Зависимость времени взрыва от длины проволочки: 1, 2, 3 — никром,  $d = 0,1 \text{ мм}$ ,  $V_0 = 5,7$  и  $12 \text{ кв}$ , соответственно; 4 — медь,  $d = 0,12 \text{ мм}$ ,  $V_0 = 7 \text{ кв}$ ; 5 — то же,  $V_0 = 12 \text{ кв}$ ; 6 — медь,  $d = 0,06 \text{ мм}$ ,  $V_0 = 12 \text{ кв}$

В [14] медная проволочка исследовалась только при двух длинах 71 и 179 мм. Оказалось, что  $T_v$  уменьшается линейно квадратному корню из энергии первого импульса на единицу длины. Это подтвердило гидродинамическую теорию взрыва проволочки, которую авторы [14] берут для объяснения своих результатов. Произведенное измерение энергий и расчет показали, что в нашем случае такое соотношение между  $T_v$  и энергией первого импульса действительно имеет место для всех проволочек в диапазоне  $l \geq 15 \text{ мм}$  (табл. 1), но в области меньших длин увеличение энергии на единицу длины приводит к увеличению  $T_v$ , т. е. если гидродинамическая теория и справедлива, то только в определенных границах изменения параметров проволочки.

Зависимость максимальной плотности тока ( $j_m$ ) от длины проволочки представлена на рис. 4. Видно, что уменьшение  $V_0$  приводит к снижению достижимой  $j_m$ . Уменьшение  $j_m$  на всех длинах, материалах и сечениях проволочек меньше, чем это следует из пропорциональной зависимости  $j_m$  от  $V_0$ . Все кривые  $j_m = \gamma(l)$  показывают, что, начиная с некоторой длины, тем меньшей, чем больше диаметр проволочки (кривые 2 и 4), дальнейшее снижение  $j_m$  прекращается. Очевидно, это будет иметь место только в некотором диапазоне длин.

При равных напряжениях большая плотность тока достигается в более тонких проволочках (кривые 2, 3, 4), но  $jmt$  увеличивается менее, чем это следует из обратно пропорциональной зависимости  $jmt$

Таблица 1

Материал, диаметр, $\text{мм}$	Величина квадратного корня из энергии первого импульса на единицу длины, $\text{дж}/\text{см}$	$T_B$ , $\mu\text{сек}$	$l$ проволочки, $\text{см}$
Нихром, 0,1	3,71	0,77	0,65
	3,36	0,68	1,0
	2,8	0,77	1,5
	2,36	1,0	2,0
	1,98	1,28	2,5
Медь, 0,12	3,44	0,87	1,5
	2,83	0,89	2,0
	2,4	0,9	2,5

от  $S$ . Видимо, на величину среднего значения  $jmt$  влияют не только параметры контура взрыва и проволочки, но и равномерность распределения тока по сечению, обсуждавшаяся в [15].

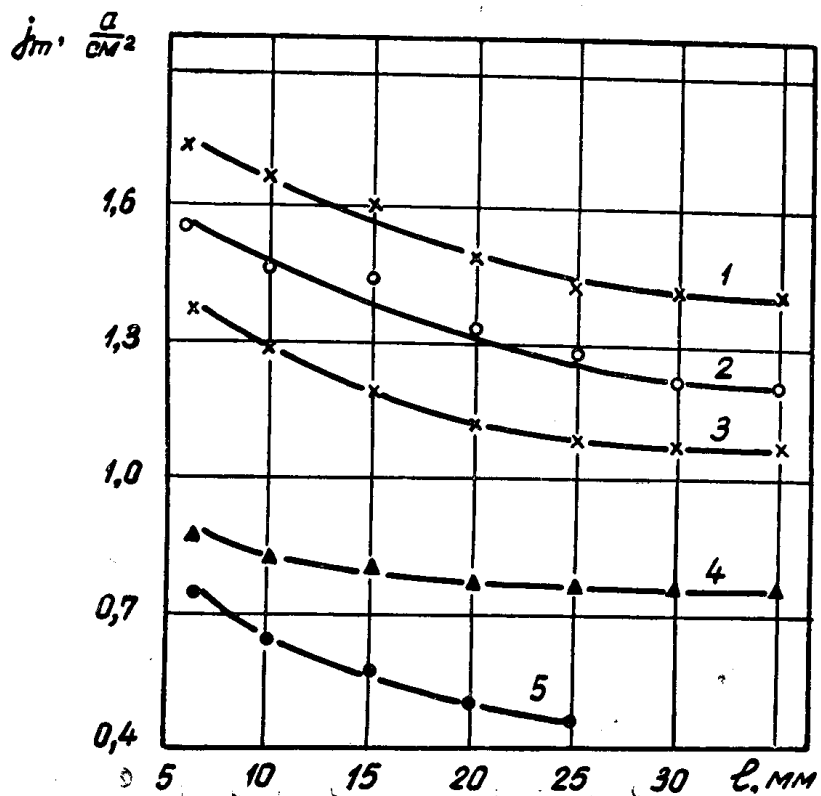


Рис. 4. Зависимость максимально достигнутой плотности тока от длины проволочки: 1 — медь,  $d = 0,008 \text{ мм}$ ,  $V_0 = 12 \text{ кв}$ ; 2 — медь,  $d = 0,06 \text{ мм}$ ,  $V_0 = 7 \text{ кв}$ ; 3 — медь,  $d = 0,08 \text{ мм}$ ,  $V_0 = 7 \text{ кв}$ ; 4 — медь,  $d = 0,12 \text{ мм}$ ,  $V_0 = 7 \text{ кв}$ ; 5 — константан,  $d = 0,09 \text{ мм}$ ,  $V_0 = 7 \text{ кв}$

Предположение авторов [12] о том, что проволочки всегда взрываются при одной и той же плотности тока, не подтверждается.

В заключение следует отметить, что в настоящее время нет теории взрыва проводников, удовлетворительно объясняющей все стороны явления, поэтому дальнейшее накопление экспериментального материала позволит проверить и определить границы применимости существующих теорий, а также создать общую теорию взрыва проводников.

#### ЛИТЕРАТУРА

1. С. В. Лебедев. ЖЭТФ, 27, 4, 1954.
  2. С. В. Лебедев. ЖЭТФ, 27, 5, 1954.
  3. Ф. Уэбб, Н. Чейз, М. Эрнстин, А. Таллеструп. Взрывающиеся проволочки. ИИЛ, 1963.
  4. Е. Кнейр, Ф. Нейлсон. См. [3].
  5. Ю. А. Котов, М. А. Мельников. Ж. Электронная обработка материалов. № 2, 1967.
  6. Н. А. Протопопов, В. М. Кульгавчук, ЖТФ, 31, 5, 1961.
  7. В. Мюллер. См. [3].
  8. В. Шеррер. См. [3].
  9. В. Лохте-Хольтгревен. Успехи физических наук. 72, 3, 1960.
  10. Г. Андерсен, Ф. Нейлсон. См. [3].
  11. Ю. А. Котов, М. А. Мельников. Ж. Электронная обработка материалов. № 3, 1966.
  12. Л. П. Волков, В. М. Воронов, С. В. Самылов. ЖЭТФ, 51, 1, 1966.
  13. М. П. Ванюков, В. И. Исаенко. ЖТФ, 32, 2, 1962.
  14. Ч. Нэш, К. Олсен. Электрический взрыв проводников. Изд-во «Мир», 1965.
  15. Р. Манингер. См. [3].
-